

农 机
译丛

NONG-JI YI-CONG

3



1963

上海市科学技术編譯館

农机譯丛

1963年第3輯

开本 787×1092 1/16 印张 3 1/2 字数 110,000
1963年10月第1版 1963年10月第1次印刷
印数 1—2,100

汇 编 版 者：上海市科学技术編譯館
上海南昌路 59 号
印 刷 者：商务印书馆上海厂
总 发 行 处：新华书店上海发行所
經 售 处：全国各地新华书店

农机譯丛 1963年第三輯目录

农业动力

- 车辆-土壤系統的“浮度”、反作用力与车辆性能的关系…[美国] M. G. Bekker (1)
最新小型拖拉机(二)……………[日本] 新井健助 (7)
拖拉机重量与牵引力的关系……………[澳大利亚] A. H. Willis (14)
小型乘用拖拉机在水田耕地的适应性……………[日本] 居垣千寻 (17)
提高輪式拖拉机带悬挂犁工作时的牵引指标……………[苏联] П. М. Тильштейн, Д. З. Стародинский (21)

农业机械

- 田間作业机械的設計問題……………[美国] C. B. Richey (25)
三点悬挂系統上作用力的測定及其动力特性……………[日本] 川村登 (31)
三点悬挂犁和具有浮动的和控制的悬挂机构的拖拉
机之間的空間力分析图解法……………[捷] J. Kuczewski (35)
镰刀、切割器和割草器的刀口性能——刀刃角、刀刃
寬度的磨損測定……………[日本] 田谷鴻昇 (36)
镰刀……………[日本] 江崎泰
輪脫粒工艺過程的几个理論問題……………[苏联] И. Ф. Осецкий (37)
选择攬龙参数用的曲綫图……………[苏联] И. Тересов (38)
噴霧、噴粉均匀性試驗的新原理……………[苏联] И. Никифоров, А. Н. Иванов (39)
工作速度大于9公里/小时的犁……………[苏联] И. Никифоров, А. Н. Иванов (40)
旋耕犁与鏵式犁耕作效果的比較……………[英] B. M. Dougall, J. Davies (41)

試驗方法与仪器

- 液压式土壤取样器……………[英] D. E. es, J. D. 'ds
用計數器和示波器測定播种的均匀性……………[苏联] А. Н. Ганников (42)

工艺与材料

- 鋁合金在农业机械构件中的应用問題……………[苏联] А. Н. Ганников (43)

—农业动力—

车辆—土壤系统的“浮度”、反作用力与车辆性能的关系*

[美国] M. G. Bekker

I. “浮度”的概念和车辆性能的关系

当机动车辆的使用者希望通过难以通过的土壤时，总是强调要更大的“浮度”。一般认为，满足这种要求就必须使下陷量较小，或者说应该有较大的接地面积和较低的接地压力。要完全满足这样的要求，技术上的困难是难以克服的；此外，已经发现在许多情况下，这种趋向是不正确的，因为在很多试验中证明：一辆接地压力高的车辆，其性能也可比一辆接地压力低的车辆好些。

困难在于土壤与水不同，它的质地是不均匀的，且其承载能力及负荷与下陷量的关系，不可能用一种类似阿基米特定律的简单公式来表示的。同一负荷能保证车辆在某种土壤表面上不致下陷，而在另一种土壤表面就不能保证安全。此外，不同型式的链轨和车轮，在相同的接地压力时，下陷量也将有所不同。

可以认为：浮度和地面的承载能力是同一概念，并且可用公认的分析方法来研究。例如，由短边 b 的接地面积 A 所承受的安全负荷 W 或相应的接地压力，是由内聚力 c 和承载能力因素 N_c 、 N_q 、 N_r 以及土壤比重等决定的。计算土壤安全载荷的公式如下：

$$W_s = A \left(cN_c + \gamma Z N_q + \frac{1}{2} \gamma b N_r \right) \quad (1)$$

由此可见，单凭接地压力不足以确定表征地面承载能力的“浮度”。现在举例说明如下：

假设一辆链轨宽度为20吋的链轨式车辆和一辆装有低压充气轮胎（接地面积接近于半径为10吋的圆，即宽度也是20吋）的车辆能在 $\gamma=0.06$ 磅/吋²、 $c=0.1$ 磅/吋²、 $\phi=30^\circ$ 的土壤上通过，且车轮没有显著的下陷（ $Z \approx 0$ ）。对宽度 b 小于长度的矩形面积来说，方程式（1）是有效的。在太沙基（Terzaghi）的著作中，可以找到适用于圆形承载面积的方程式；此方程式表明承载面积为圆形时，计算

安全负荷要用圆面积的半径来代替矩形宽度 b 。于是，得到矩形和圆形面积的安全接地压力如下（设 $Z \approx 0$ ）：

$$\begin{aligned} p_r &= cN_c + \frac{1}{2} \gamma b N_r \\ \text{和} \quad p_c &= 1.3 cN_c + 0.6 \gamma r N_r \end{aligned} \quad (2)$$

当 $\phi=30^\circ$ 时， $N_c \approx 35$ 和 $N_r \approx 20$ 。为此，将这些数据和其他已知数据代入上式后，得出下列结论：

$$\begin{aligned} p_{\text{链轨}} &= 0.1 \times 35 + 0.5 \times 0.06 \times 20 \times 20 \\ &= 15.5 \text{ 磅/吋}^2 \end{aligned}$$

和

$$\begin{aligned} p_{\text{轮胎}} &= 1.3 \times 0.1 \times 35 + 0.6 \times 0.06 \times 10 \times 20 \\ &= 11.75 \text{ 磅/吋}^2 \end{aligned}$$

上例说明，在接地压力的基础上来评价车辆的机动性是不可靠的。照理可以假定：相同的接地压力会产生同样的浮度。实际上并不如此，虽然对链轨来说是安全的接地压力，但对轮胎来说却并不能产生足够的浮度。当把浮度特性看成是承载能力的时候，对于浮度特性的评价就离不开地域的精确概念和接地面积的形状。

这可以从两种截然不同的土壤加以说明，即无粘性的摩擦性土壤（干砂）和无摩擦性的粘性土壤（过饱和的粘土或湿的松雪）。第一种土壤 $c=0$ ；第二种土壤 $\phi=0$ 。按方程式（1）可求出车辆能停留在地面而不致下陷的安全负荷，并可用下式表示：

$$\text{无粘性土} \quad W_s = \frac{1}{2} Ab \gamma N_r \quad (3)$$

$$\text{无摩擦性土} \quad W_s = AcN_c \quad (4)$$

由上式可见，在干砂中野地表面通过性不仅取决于接地面积 A 的大小，还取决于宽度 b 。但在塑性无摩擦性的粘土中，则决定最大浮度的（即车辆停留在地面的能力）只是接地面积 A 的大小。

所以，只有在粘性土壤上，接地压力 p 才能作为

* 譚者加注。

浮度的足够的衡量指标，而对摩擦性土壤并不适用。在摩擦性土壤中，安全接地压力应看作是负荷面积宽度的函数。

今用数字说明如下，取二条接地面积 A （以平方吋计）相同的链轨。一条长链轨的宽度 $b_1=10$ 吋；另一条短的链轨宽度 $b_2=20$ 吋。设 $\phi=30^\circ$ ，因此如果 $N_c=20$, $\gamma=0.06$ 时，则：

$$p_{b_1}=0.5 \times 0.06 \times 20 \times 20 = 12 \text{ 磅/吋}^2$$

$$p_{b_2}=0.5 \times 0.06 \times 10 \times 20 = 6 \text{ 磅/吋}^2$$

由此可见，即使两种接地面积相同的链轨，也不能承受同样大小的负荷，所以在摩擦性土壤上，较窄的链轨要比较宽的链轨浮度为小，二者比例是 1:2。这说明，一条宽 20 吋的链轨，当接地压力等于 12 磅/吋² 时能浮在砂上；而 10 吋的链轨则将严重下陷（除非接地压力减小一半）。然而，在粘性土壤中，只要两条链轨的接地压力均不超过由方程式(4)所算得的承载能力时，二者均能浮于土壤表面。

上述见解是指延展很深以致可认为是半无限均匀连续体的土壤而言。但对野地就不能认为是半无限均匀连续体，而应把它看成是由下面硬底层与上面为松软塑性表土组成的分层介质。虽然，由松软土过渡到硬底层是逐渐形成，而不能明确地划分的，但这样可更加符合实际一些。

在此情况下，就不能用前述方程式来计算车辆的承载能力、安全负荷或浮度了。纳戴(Nadai)研究出来的并被杰琴辛(Jurgensen)为其他目的而用于土壤力学的方法，可作为上述问题的近似解法。设接地压力 $p=W/lb$ ，当负荷面积 lb 与硬底层之间受挤压时，上层土壤能支承的极限接地压力值可由下式计算：

$$p=bsl^2/2h \quad (5)$$

式中： s ——引起塑性变形的应力；

h ——上层土壤的厚度。

方程式(5)表明，要能浮在有硬底层支承的松软土或疏松雪的顶部，就应首先考虑到接地面积的长度（因在方程式中长度是平方关系）。遗憾的是，上层松软土是相当的软，它的 s 值非常的低，以致为了保证必要的浮度势必采用一种尺寸大到不能允许程度的链轨或车轮才行。一般的车辆将挤出松软土层而下陷，而只有当土壤的厚度达到下列数值时，下陷才告停止：

$$h=bsl^2/2p \quad (6)$$

此式可用以估计上述条件下的下陷量。但在估计车辆在摩擦性土和粘性土上的下陷量时，必须考虑到下式**：

$$Z=\left[\frac{p}{k_c/b+k_\phi}\right]^{1/n} \quad (7)$$

方程式(7)指明：即使接地压力 p 相同，当车轮或链轨的接地面积愈宽（尺寸 b 大）时，面积下陷得就愈深。从观察结果以及土壤力学的理论分析可知，在给定的接地压力下，大面积地基使地面向下沉的趋势比小面积地基更严重一些。此外，根据自动车辆的使用经验，也得到同样的教训。但是在同一地面，同一接地压力时呈现出不同的下陷量的原因还是一个不十分理解的谜。

为进一步说明这一点起见，举一个用数字表示的实例如下：假如有一辆链轨宽度为 10 吋、接地压力 $p=10$ 磅/吋² 的标准车辆的工作性能并不令人满意。为提高浮度起见，将接地压力减小到 7.5 磅/吋²，而链轨宽度增加到 30 吋。将改装后的车辆进行试验，试验地的土壤值如下： $k_c=30$; $k_\phi=1$; $n=1$ 。试验表明，下陷情况不但没有改善，反而更为严重，看起来这是一种自相矛盾的现象。但用方程式(7)核算可得如下结果：

$$Z_{10}=\frac{10}{30/10+1}=2.5 \text{ 吋}$$

$$Z_{7.5}=\frac{7.5}{30/30+1}=3.75 \text{ 吋}$$

上例说明了为什么只减小接地压力并不一定使“浮度”获得相应的改善，换句话说，不一定能减少下陷量。

上例曾假设地面相当坚实，关于这点，可从 n 值较大推断出来。但假如地面很松散（由于密度小或含水量高），并且假定与负荷面的宽度相比时，松散层很深的话， n 值大约减小到 $\frac{1}{2}$ 。此时，用方程式(7)表示的两种链轨下陷量也将平方地增加。它的值分别等于： $Z_{10}=6.25$ 吋、 $Z_{7.5}=13.7$ 吋。因此，接地压力低的链轨较前述情况下陷得更深一些，这就使得一般的所谓“接地压力高-低”(high-low pressure)的概念更为含糊混乱。

上述所有论点阐明了浮度的性质。它指出：以类似阿基米特提出的一种简单定律为基础的概念是

* 原文系 $p_b=0.5 \times 0.6 \times 20 \times 20 = 12$ 磅/吋²，恐为印刷错误；

** M. G. Bekker 根据城市建筑土壤力学中负荷与下陷关系式，考虑到伯恩斯坦、高略茨金二学者在这方面的见解与土壤物理机械特性参数提出的新方程式——译者注。

无助于对于“浮度”的理解的。车辆通过野地的能力(不論是否有輕微的下陷)是取决于土壤的承载能力,而后者又取决于土壤的摩擦力 ϕ 、内聚力 c 和密度。此外,負荷面短边 b 也是一项重要的因素。

但是,一旦超过表面通过的安全负荷后,车辆即向下沉陷,于是要求有另一系列的土壤值来计算下陷深度和车辆在较小的下陷情况下通过该区域的能力。除了负荷面短边 b 以外,这些数值还包括 k_c 、 k_ϕ 和 n 。因此,方程式(7)可以决定“底层通过”(sub-surface crossing)情况下的浮度;而方程式(2)则决定“表层通过”(surface crossing)情况下的浮度。

要使车辆能在表面通过,应保证负荷面的宽度尽可能地大(特别是在摩擦性土壤中),因为它对避免下陷是很有好处的[见方程式(2)]。但如地面很松软,或者负荷过大,不能表面通过时,宽度 b 就应尽可能地小,正如方程式(7)所示的那样,可以减少下陷。正确地考虑这些相反的要求之后,可以防止对试验结果与设计参数产生错误的解释。这里所谈的设计参数是属于接地面积尺寸和形状方面的。

一条链轨做成长而窄,还是短而宽(同样的负荷与接地压力下),并非在一种简单的规律或设计原则基础上确定的。它取决于使用者要求在什么地方工作;取决于所给定土壤的 c 、 ϕ 、 k_c 、 k_ϕ 及 n 值间的关系。换句话说,它是由使用方面决定的,并不能不经过详细研究而只在绘图板上加以决定的。

如果考虑到土壤性质随着大气情况的变化,则评价浮度对于车辆性能影响的工作更为复杂。湿滑的泥浆在冻结后会象混凝土路面一样硬;硬的土壤在潮湿的时候也变得很软。某些土壤当含水量只变化1%或2%时,土壤强度可以变化很大。

分析方程式(3)和(4)的计算结果,能使车辆在

中等砂性土壤($\phi=30^\circ$)表面通过的安全浮度(接地压力)是 $p=0.5 \times 0.06 \times 20b = 0.6b$ 磅/吋², 式中0.06是土壤平均比重,20是 $\phi=30^\circ$ 时的 N_r 值。换句话说,如果链轨宽度是10吋,则在不下陷的情况下通过,所要求的接地压力是6磅/吋²。如果链轨宽度是20吋,则安全接地压力增加到12磅/吋²等等。此例说明砂性土壤是车辆能够相对比较容易通过而不下陷的物质。不但是链轨,而且充气轮胎也可以顺利通过,因为充气压力为6~12磅/吋²而接地面积宽度为10吋或20吋的轮胎,在尺寸方面并不致大到不能允许的程度。一般说,在砂性土壤上应该以使用充气轮胎为主。

然而,在低摩擦性的粘土上的情况就不同了。方程式(4)表明,保证足够浮度而不产生明显下陷所需要的接地压力 $p=8c$,式中8是 $\phi=0$ 时的 N_r 值。砂壤土含水量为22%时 c 值可以降低到0.25,于是在无摩擦性的土壤表面通过的允许接地压力为2磅/吋²。一般形状的轮胎,并不能产生2磅/吋²的接地压力。泥浆的 c 值可达0.1磅/吋²或者更小一些;所以保证无明显下陷的接地压力变得非常的低。由此可见,任何一种充气轮胎并不能达到这一要求,而只有一种非常大的链轨才能保证必要的浮度。因此,在塑性土壤上,许多链轨要比轮胎工作得满意,并且在很多情况下它并不能由车轮来代替。

基于底层通过的负荷-下陷关系的浮度定义[方程式(7)],要比基于地面承载能力概念的浮度定义[方程式(2)]更具有实用性和普遍性。

区别属于表面通过的与底层通过的浮度概念是很重要的,因为两种概念对接地面积宽度的影响的评价恰好相反,因此所要求的链轨和车轮形状也不相同。

II. 土壤反作用力和车辆运动的关系

在车辆作用下由地面剪切力所产生的水平推动力称为“土壤反作用力”(soil thrust)。反作用力中的一部分消耗在克服“运动阻力”(motion resistance)上,而其余则称为“牵引力”或“拉杆拉力”备作车辆加速、爬坡或者牵引负荷之用。

在库伦公式的基础上,最大反作用力可按下式计算:

$$H = Ac + W \tan \phi \quad (8)$$

但为更精确起见,则最大土壤反作用力等于:

$$H = Ac + W \tan \phi + H' \quad (9)$$

式中: A ——在负荷 W 作用下的接地面积(即剪切面积);

H' ——是由轮胎花纹或链轨抓地齿产生的附加剪切力。

上式的最后一项一般只占 $Ac + W \tan \phi$ 的很小百分比,以后将再讨论。目前可将 H' 这一项略去。

由方程式(8)可见,中等质地的土壤,所产生的反作用力是由于接地面积 A 和车辆重量 W 作用的结果。为了产生推进所必需的反作用力,这两个因

素都是必要的。但是在无摩擦性的粘土中 ($\phi=0$)，车辆的重量并不产生任何的反作用力；相反地，在无粘性的摩擦性土中 ($c=0$)，接地面积大小与反作用力的产生并无关系。这些观察引出链轨或车轮尺寸以及负荷对反作用力大小影响的重要结论来。

很明显，在塑性饱和粘土中 ($\phi \approx 0$)，拖拉机的重量并非是反作用力的产生者，而却是一个沉重的负担。对这一类土壤来说，链轨或车轮就不嫌太大；相反，在干砂中 ($c=0$) 并不需要装置大的链轨或车轮，链轨或车轮的尺寸只要能够保证必要的浮度就够了。为了产生尽可能大的反作用力，尽量增加车辆的重量是最主要的。

关于这个看法的全部涵义可用下面例子来说明：一台拖拉机重 10,000 磅，接地面积 1,000 英寸²，在 $c=1$ 磅/英寸²、 $\phi=20^\circ$ 的土壤上工作，是否有可能用增加拖拉机链轨宽度的方法使它的反作用力增加 25%。根据方程式(8)，最大有效反作用力是：

$$\begin{aligned} H &= 1,000 \times 1 + 10,000 \tan 20^\circ \\ &= 1,000 + 3,640 = 4,640 \text{ 磅} \end{aligned}$$

要使反作用力提高 25% (即接近 5,800 磅)，必须使接地面积增加 116%，即接地 2,160 英寸²，这样才能达到预期的改进目的：

$$H = 2,160 \times 1 + 10,000 \tan 20^\circ = 5,800 \text{ 磅}$$

然而，使接地面积增加二倍，就意味着必须使链轨尺寸也增加二倍，通常情况下是不能允许的。因此说，这种建议的车辆改进方案是不现实的。但根据类似的计算方法，在这种土壤条件下，使重量与链轨尺寸都稍许增加，所希望的拉力增加还是能实现的。在许多拖拉机中，采用较大的轮胎来代替较小的轮胎，并在轮胎上附加配重铁或在轮胎内充水来增加负荷的方法是有效的。上述负荷、车辆尺寸和土壤特性三者之间的关系使这种方法得到正式依据，同时使我们对此方法有更深入的理解。

低压充气轮胎是否能与链轨相媲美，这个问题可在相同条件下予以分析。假设车轮和链轨承受相同的负荷 W 。因此由方程式(8)分析，如在同一土壤、同样负荷下得到同样大小的反作用力，则车轮的接地面积 A 必须和链轨相等。要形成和链轨长度一样的接地面积长度时，轮胎直径必须增大到极不合理的地步（假设轮胎能有链轨一样的宽度）。为此，一般认为轮胎是不能代替链轨的。

但如要在无粘性的土壤中 ($H=W \tan \phi$) 获得相同的反作用力时，那么，只要求链轨和车轮具有相同的重量就可以了。假如重量并不太大时，尺寸大

小在实际许可范围内的轮胎是能够而且应该代替链轨的。由此说明了为什么在沙漠地区工作只使用充气轮胎的原因（在这种地区中，绝大部分是干砂）。但如将此结论加以普遍化是不正确的，这是因为在粘重无摩擦性的地区，轮胎是不能和链轨一样有效；在极限的土壤条件下，轮胎是不能代替链轨的。

为使方程式(8)更精确起见，链轨抓地齿或轮胎花纹的作用 H' 也应予以考虑[方程式(9)]。把这种作用看成是抓地齿侧面的剪切作用已足够精确了。所以，在以后提及方程式(9)中的抓地齿作用时，可用下列更完整的形式来表示：

$$H = blc \left(1 + 2 \frac{h}{b} \right) + W \tan \phi \left\{ 1 + 0.64 \left[\left(\frac{h}{b} \right) \cot^{-1} \left(\frac{h}{b} \right) \right] \right\} \quad (10)$$

式中： h ——链轨抓地齿或花纹的高度；

H ——在负荷 W 作用下一条链轨的最大反作用力。

由此可以推论，花纹的效果取决于土壤的类型，而在粘性土壤中效果最显著。但在摩擦性土壤中，花纹对反作用力的影响是很小的。无花纹轮胎在砂中如果不能比高花纹轮胎好，也至少和它相当。

由方程式(10)得出另一重要结论，即在摩擦性土壤中，绝对地增加抓地齿效果不大，除非它相对于链轨宽度 b 来说是相当大的。

抓地齿在粘性土与摩擦性土壤上的效果对比（以数字表示）如图 1 所示。由效果分析表明，它要

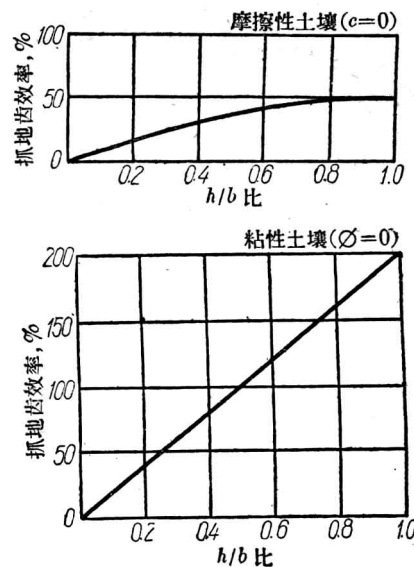


图 1 在摩擦性和塑性土壤中抓地齿的效率（以土壤反作用力 $H=Ac+W \tan \phi$ 百分比表示）

比用方程式(8)算得的反作用力值高10~15%。用不同的机車和不同的花纹高度进行的試驗証实，由方程式(10)算出的土壤反作用力值，其精确度是10%，并比由試驗确定的数值低些。

上面所討論的土壤反作用力是在最佳的滑轉率下可能达到的最大值。当车辆的滑轉率小于或大于最佳值时， H_{\max} 值一般是要减小的。这些条件决定了一台拖拉机的滑轉效率(travel efficiency)。为避免因滑轉损失而影响經濟性，了解反作用力和滑轉率間之关系是十分重要的。

单位土壤反作用力 S 和滑轉的关系可用下式表示：

$$S = [(c + p \tan \phi) / y_{\max}] \{ \exp(-K_2 + \sqrt{K_2^2 - 1}) K_1 d - \exp(-K_2 - \sqrt{K_2^2 - 1}) K_1 d \} \quad (11)$$

式中： K_1 与 K_2 ——滑轉参数；

y_{\max} ——{} 内函数的最大值；
 d ——土壤变形值。

如果此式以车辆滑轉率 i_0 和接地面积前端到产生单位土壤反作用力 S 那一点的距离 x 的乘积表示土壤水平变形时，则可写成下列形式：

$$S = [(c + p \tan \phi) / y_{\max}] \{ \exp(-K_2 + \sqrt{K_2^2 - 1}) K_1 i_0 x - \exp(-K_2 - \sqrt{K_2^2 - 1}) K_1 i_0 x \} \quad (12)$$

在接地面积全长 l 范圍內积分后，土壤总反作用力可由下式求出：

$$H_i = b_0 \int^l S dx, \text{ 或写成:}$$

$$H_i = \left(\frac{b(c + p \tan \phi)}{K_1 i_0 y_{\max}} \right) \left(\frac{1 - \exp(-K_2 - \sqrt{K_2^2 - 1}) K_1 i_0 l}{-K_2 + \sqrt{K_2^2 - 1}} \right) + \frac{-1 + \exp(-K_2 + \sqrt{K_2^2 - 1}) K_1 i_0 l}{-K_2 + \sqrt{K_2^2 - 1}} \quad (13)$$

由上式可知，即使假定負荷 p 是均布的，但在沿接地面积上的土壤反作用力也不相等。土壤反作用力从接触面积前端为零值增加到某一最大值，然后根据土壤数值 K_1 与 K_2 的不同而降低或保持不变。这种現象的产生是因为鏈軌或車輪的前面部分才开始和土壤嚙合时，还没有充分時間来剪切土壤。只有在鏈軌部分已与地面接触了相当时间以后才产生相当的剪切。但当滑轉过大时，已被剪切的土壤会很容易发生位移，于是当漸近接地面积后部时，反作用力又逐渐减小。

为說明这一点并引出其他結論，現采用两种特殊的土壤：一种是未經扰动并紧密沉淀的粉砂土，它的特性是 $c=6.5$ 磅/吋²、 $\phi=10^\circ$ 、 $K_1=1$ 、 $K_2=1.1$ ；另一种是沙壤土，其特性是 $c=0.2$ 磅/吋²、 $\phi=35^\circ$ 、 $K_1=0.3$ 、 $K_2=2$ 。这两种土壤由方程式(12)求得 y_{\max} 值分别是 0.32 和 0.76。再假定鏈軌长度 $l=50$ 吋，均布接地压力 $p=3$ 磅/吋²，設滑轉率为 0.1、0.2、0.3…等；而且距离 x 是由接地面积前面向后面不断增大的，将上述数值代入方程式(12)后，所得結果列入图 2 中。

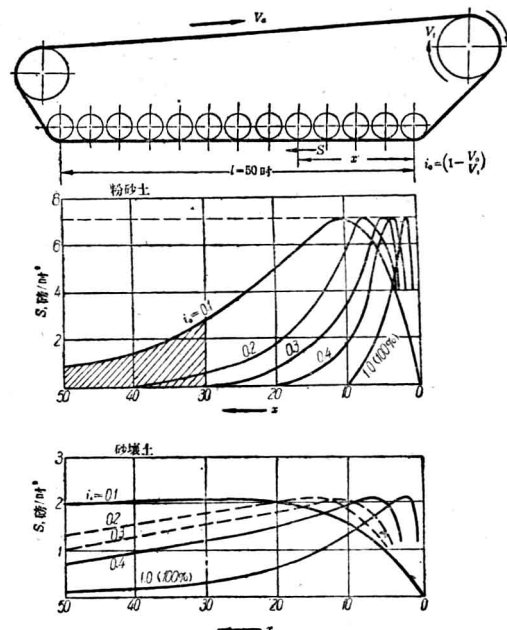


图 2 土壤反作用力的分布和鏈軌的滑轉率

从这些图里可看到，在粉砂土中仅由于鏈軌的前面部分产生土壤的剪切作用而形成土壤反作用力。鏈軌后面部分的作用是很小的。从反作用力形成的觀点可以推論到，在粉砂土上并不需要 50 吋長的鏈軌；如将它的长度縮短到 30 吋，也只損失掉相当于图上用阴線标记的一小部分反作用力。

但在砂壤土中，鏈軌的全部长度(在各种較小的滑轉率下)对反作用力的形成都有作用的，如果鏈軌較长的話，由横坐标与在一定滑轉率下 S 曲線所包围的面积来表示的总反作用力是增加的。

由此說明，接地面积长度和該面积所产生的土壤反作用力以及滑轉率有关。因为車輪与鏈軌間的主要区别在于它们的接地面积长度不同，所以，鏈軌和車輪間关系的評价方法也同样体现在式(12)和(13)中。

对砂壤土來說，在不同的低滑轉率時，反作用力差別較小，當滑轉率高於 20~30% 時，差別顯著增大。這說明在大多數的試驗場上，拉力-滑轉曲線的測力試驗為什麼在接近這種滑轉率時才獲得最大的牽引力。

能够不經過試驗場的試驗而繪出圖 2 所示的反作用力-滑轉率曲線是具有很重要的意義，因为它使人們在沒有製造和試驗一台真實尺寸車輛的情況下能對各種不同的設計加以評價。例如，可以分析一下下述問題：有一設計師選擇了一個直徑很大而寬度小、一個直徑小而寬度很大的兩種低壓充氣輪胎。并使這兩個輪胎接地壓力 p 均等於 3 磅/吋²。兩個輪胎的尺寸如下：(1) $D_1=30$ 吋、 $b_1=10$ 吋；(2) $D_2=78$ 吋、 $b_2=10$ 吋(圖 3)。兩個輪胎變形後的接地面積都等於 300 平方吋。所以，矮而寬的輪胎接地面積長度是 10 吋，高而窄的輪胎是 30 吋。為解決究竟那一種輪胎型式較好起見，可以描繪兩種輪胎的反作用力-滑轉率曲線，然後分別用求積儀求出由接地面積長度為 10 吋和 30 吋時的滑轉曲線以下的面積(圖 2)。上述面積可近似地給出每吋接地寬度的反作用力。因此，再分別乘上兩種輪胎寬度後，就可求出如圖 3 所示的反作用力與滑轉率的關係。

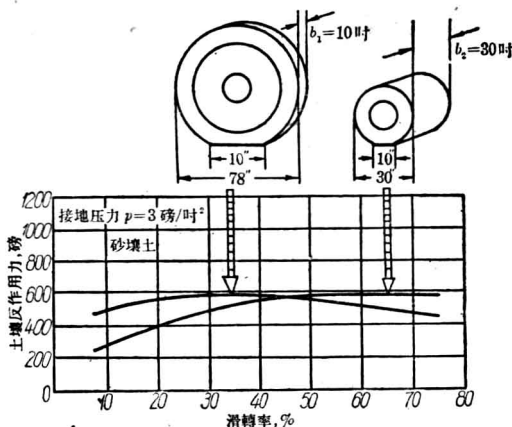


圖 3 土壤反作用力和接地面積形狀的關係

圖 3 表示出試驗場工程師所熟知的典型的反作用力-滑轉率關係。由於在此例中所選用的接地壓

力很低，可以假設所採用的行走機構下陷量也很小。因此，它的運動阻力可略去不計，而通常叫做拉杆牽引力-滑轉率曲線的牽引力曲線將和計算所得的反作用力曲線相同。在滑轉達到某一定程度以前，直徑大而較窄的輪胎要比直徑小而較寬的輪胎好。實際上，由於接地面積窄和沒有計及的其他因素，甚至在高於上述滑轉率時，大輪胎還是比小直徑輪胎好些。

常常有人這樣說，大而窄的輪胎和小而寬的輪胎可以產生相同的反作用力。在一定的土壤條件下，這樣說法是正確的。但必須注意到這一點，即上述例子里，滑轉率在達到浪費的程度(40~50%)時，兩種輪胎的反作用力才會相等(圖 3)。

因此，對輪胎有選擇自由的設計師，應該選用直徑為 78 吋的窄輪胎。如果希望在經濟滑轉率情況下，可以得到比輪胎能夠產生的反作用力還要更大的反作用力時，那麼只有鏈軌才能解決，尤其是在難以安裝比 78 吋更大的輪胎時。

所以具有平坦的接地面積的鏈軌和低壓充氣輪胎的工作情況是相似的。當其他條件都相同時，它們之間的反作用力與滑轉率的區別，只是由於它們的接地面積長度不等之故。接地面積愈長，就可以在較小的滑轉率下產生較大的反作用力。

在上述討論中，並未考慮到花紋或抓地齒的作用，同時假定負荷是均布的。為獲得較精確的結論，應該進行必要的修正。為了修正，要進行更多的計算的實驗。雖然如此，經驗指出：即使反作用力的分析計算步驟很繁重，但在時間和經費方面，仍比靠通過設計和試驗與實物大小相同的樣車來決定它的性能要來得經濟些。

在這一方面所取得的進展表明，這種方法是切實可行的，還提出了反作用力-滑轉曲線近似的解析法。在此以前，除非是直接在試驗場上進行測定，否則還無法得到反作用力-滑轉曲線。這種方法也有可能適用於剛性車輪，關於這一點是很重要的，因為在許多土壤上，許多輪胎雖然充氣壓力低，可是它的性能和剛性輪胎相似。

吳起亞、張包劍譯自《Off-the-road Locomotion》
第 49~65 頁，1960 年

最新小型拖拉机(二)

[日本] 新井健助

IV. 小型拖拉机的构造

小型拖拉机一般由下列各部分所构成(图6):发动机、离合器、变速器、传动装置、转向机构、行走装置、操纵装置、机架、工作装置和附属作业机具。

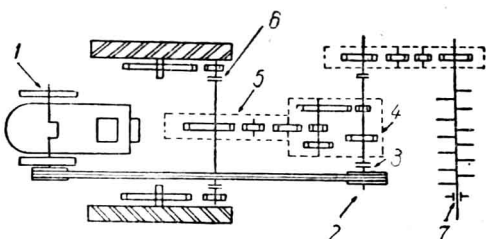


图6 小型拖拉机的构造(驱动型)

1—发动机曲轴；2—主傳動軸；3—主離合器；
4—變速器；5—傳動裝置；6—轉向離合器；
7—耕耘軸

一、发动机

发动机的型式很多，主要可分为驱动型拖拉机用和牵引型拖拉机用两种。

驱动型用的多为水冷式石油(轻油、煤油等)发动机或柴油机。驱动型拖拉机所需的功率较大，负荷变动也大；因为发动机的马力较大，燃料消耗也多，所以采用价格较便宜的轻油及煤油做燃料是必然的。为了在负荷变动时能较稳定，因而常具有较大的飞轮。

驱动型用发动机多为中速，转速在1,500转/分左右。因为驱动型也常下水田工作，所以为了减轻重量，也出现了3,000转/分以上的水冷式发动机。

牵引型拖拉机为了便于在坡道上和高速行驶(进行运输作业等)，以及便于进行中耕作业，因此希望重量尽可能的轻，重心位置较低，稳定性和操纵性较好，所以采用风冷高速发动机。由于汽油机在使用和制造上都较简单，因此都用汽油机。虽然汽油价格较高，但因马力较小，燃料总消耗量小，所以这不成为主要问题。

在小型的乘用型及大型的步行型拖拉机上，发动机用电动机起动；在一般步行型的拖拉机上，用绳子或手摇柄起动，最近有用弹簧力帮助起动的。

二、离合器

1. 主离合器

主离合器有圆盘式、圆锥式、扩张式、三角皮带式及离心式等多种。

圆盘式有单片式和多片式，乘用型上多用单片式，小型的特别是步行型的，因位置所限都用多片式(图7)。圆锥式和扩张式因接合不够平顺，现几乎已不采用。三角皮带式实际上就是在三角皮带传动上加个压紧轮。当压紧轮压紧时，动力能通过皮带而传递，相当于离合器接合；压紧轮松开时，动力不能传递，相当于离合器分离。采用这种型式的离合器时，动力损失较大，但便宜、简单、故障少，所以用的很多。离心式是靠发动机旋转时的离心力将蹄(主动部)张开使靠紧在鼓(从动部)上，这样离合器便自动地接合。当拖拉机碰着障碍物时，发动机转速下降，因而离心力也下降，蹄被弹簧回拉，离合器自动分离。这种离合器的缺点是离心力不足时容易发生打滑，效率损失很大，也会因发热过多而烧坏。

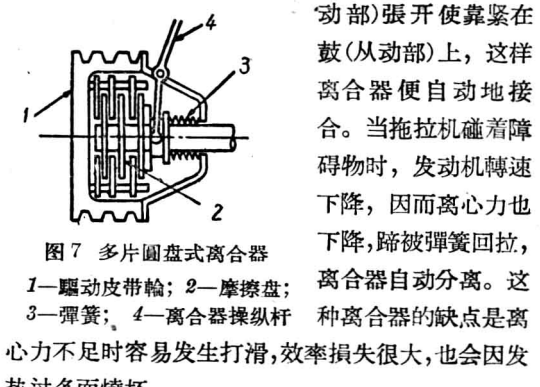


图7 多片圆盘式离合器

1—驱动皮带轮；2—摩擦盘；
3—弹簧；4—离合器操纵杆

2. 耕耘离合器

耕耘离合器是用来将传向耕耘轴的动力接通或切断，它采用牙嵌式离合器；或者没有专门的离合器，而将耕耘变速器的齿轮移到空档位置。

三、变速器

小型拖拉机的变速器具有下列几种型式：

(1) 滑块齿轮式；(2) 常啮合齿轮式；(3) 行星齿轮式；(4) 三角皮带无级变速式。

滑块齿轮式与常啮合齿轮式的构造和工作原理与大型拖拉机的相同。行星齿轮式因构造较复杂，

价格也高，在小型拖拉机上应用不多。三角皮带式可获得无级变速，用作运输等作业时，在行驶中换档较为方便，但其缺点是一组三角皮带的传动比变化不可能很大，另外耐久性和机械效率等也存在着问题。

小型拖拉机的耕耘轴一般具有两个变速档，因为拖拉机倒驶时耕耘轴转动是危险的，所以在结构上要保证挂上倒档后，耕耘轴即停止转动，或者耕耘轴转动时挂不上倒档。

四、传动装置

传动装置的功用是将发动机的扭矩传到行走装置或耕耘装置。它一般起减速作用，但也有起增速作用的。

发动机到主传动轴间的传动装置有三种型式：三角皮带、链传动及直接联接。

用三角皮带传递动力比较安静，当阻力大时，可因打滑而起缓冲作用，故在小型拖拉机上用得最多。

链传动的优点是链的伸长较少，完全不会打滑，耐久性也好，但当润滑不好时，磨损很严重，噪音很大，所以必须加链传动箱。

直接联接就是将发动机曲轴与主传动轴用联轴节直接联接起来。这种联接型式最近已常用。

变速器到行走装置和耕耘装置间的传动装置一般用齿轮传动和链传动，齿轮传动有用圆柱齿轮、圆锥齿轮和蜗轮蜗杆的，其中蜗轮蜗杆的已少用。

五、转向机构

小型拖拉机的转向机构有离合器式、行星齿轮式和差速器式等几种型式。极小型的拖拉机上没有转向机构。

1. 离合器式

离合器式中多采用牙嵌式离合器，这种型式构造简单，在不平的地面上行驶时易保持直线，转向也容易；但当轮轴上扭矩较大时，分离离合器较为困难，因此有利用凸轮的转向离合器，如图8所示。当握紧离合器手把时，压销即压下；放开手把时，压销即自动弹回（图中所示

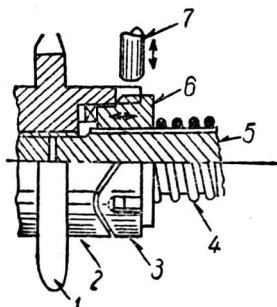


图8 利用凸轮的转向离合器
1—驱动链轮；2—主动凸轮；3—从动凸轮；4—离合器弹簧；5—车轴；6—牙嵌式离合器；7—压销

位置）。因为压销是固定在机体上而不能转动，所以将压销压下时从动凸轮就不能再转动，因此主动凸轮转动时，就把从动凸轮推向右面，当推到最右面位置时，压销落下将其固定，使其不能回到左方位置，这样离合器便分离了。等到手把放开，压销弹回后，离合器又重新接合。

2. 行星齿轮式

行星齿轮式离合器的构造如图9所示。当用销将外齿圈固定时，这时太阳轮8的转动可通过行星轮臂2、太阳轮4、行星轮臂5而传至车轮。当销拔出时（图中右方所示），齿圈可自由转动，因此车轮就停止旋转，这时各齿轮的旋转方向如图中箭头所示。齿圈的旋转方向在图中用粗线表示出来。

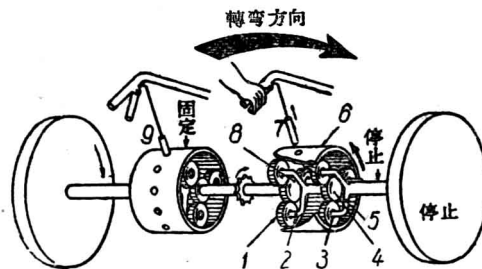


图9 行星齿轮式转向机构
1、3—行星齿轮；2、5—行星轮臂；4、8—太阳轮；
6—齿圈；7—销

这样拔起左面或右面的销时，拖拉机即向左或向右转弯。这种转向机构同时也起减速作用，操纵较轻便，但机构复杂。

3. 差速器式

这种型式的转向机构与普通大型拖拉机的相同，在凹凸不平的道路上行驶时，易偏离直线方向。

在步行型双轮式及履带式拖拉机上没有转向机构（转向盘、转向梯形机构等）；在乘坐型的三轮式或四轮式拖拉机上，转向机构的构造与大型拖拉机的相同。

小型拖拉机的制动器有内张蹄式及外包带式两种，其构造与大型拖拉机的相同。制动器也是履带式拖拉机及具有差速器式的轮式拖拉机在转弯时的辅助装置。

六、行走装置

行走装置有轮式、履带式及兼作作业机具用的特殊式（中耕型用）三种；后一种将在附属作业机具内叙述。轮式的车轮有下列几种型式：

(1) 轮胎 构造与大型拖拉机的相同，在于

土上及道路上行驶时很好,但在湿田上不能使用,在蓄水的水田上甚至不能空驶。

(2) 铁轮 铁轮的构造如图 10 及图 11 所示,田间作业时用。

(3) 水田用车轮 在蓄水的水田及湿田上使用

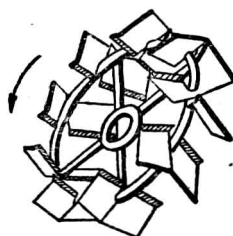


图 10 铁轮



图 11 铁轮

时,为了防止机体下沉和得到必要的切线牵引力,所以水田车轮轮叶的形状较大,车轮的直径也较大。

(4) 湿田用车轮 在湿田上工作时,为了防止机体下陷,采用图 12 及图 13 所示的特殊形状轮叶的车轮。另外,根据耕地条件及机体重量也可采用

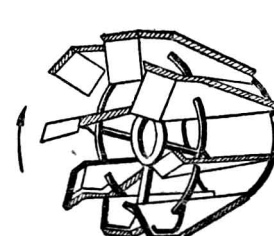


图 12 湿田用车轮(圆锥形)

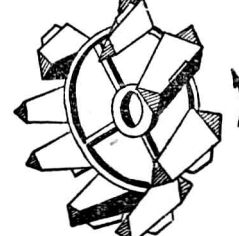


图 13 湿田用车轮(浮式轮叶)

鼓形车轮及胎轮。

在轮式的小型拖拉机上,除驱动轮外,还有一个或二个尾轮,它安装在机体的后面,其作用是为了增加机体的稳定性。当采用如图 14 所示的尾轮时,还可安装座位,以减少驾驶员的疲劳。调节尾轮的高度,即可变更耕深。

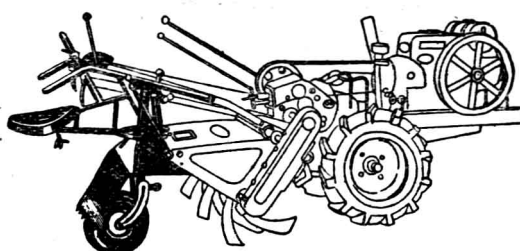


图 14 步行型拖拉机的乘用装置

拖拉机的轮距能进行调节,在较大型的拖拉机上,采用变更轮圈与轮辐间的安装位置、轮辐翻转或左右轮圈交换等方法。在小型步行型的拖拉机上,多用车轮在车轴上移动的方法。

履带式行走装置的型式如图 15 所示,在小型拖拉机上几乎已不采用。

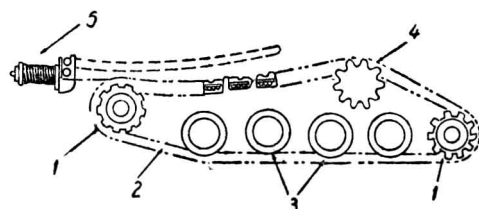


图 15 履带式行走装置

1—导向轮; 2—履带; 3—支重轮;
4—驱动轮; 5—履带张紧度调节弹簧

七、操纵装置

小型拖拉机的操纵装置如图 16 所示。

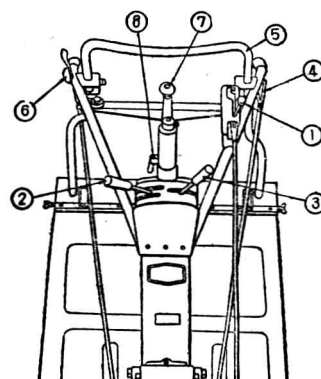


图 16 操纵装置

1—主离合器操纵杆; 2—变速杆; 3—耕耘变速杆;
4—转向离合器操纵杆; 5—助手把; 6—节气门
操纵杆; 7—尾轮调节手把; 8—尾轮移动的固定杆

八、机架

机架有二种型式:一种是发动机曲轴箱与齿轮箱直接联接,形成机架的一部分。这种型式可使整体的形状较小和重心位置较低,但发动机的热量直接传到齿轮箱,可能使油温上升。这种结构型式大多用在乘用型,步行型也有采用的。

另一种机架型式是在齿轮箱前面设有发动机架,后面有手把支持台架。驱动型拖拉机多用这种型式的机架。

九、工作装置

在步行型的牵引型拖拉机上,机体后面有牵引

装置，在这里安装各种作业机具。切割器和喷雾器另外安装在机体的前部。施肥播种器等是安装在手把支持台架上的。

在乘用型拖拉机上装有液压悬挂装置。

十、附属作业机具

小型拖拉机的附属作业机具种类很多，驱动型的有筑畦器、耢土板、螺旋回转鋤、水田耕耘器、施肥播种器和拖车等；牵引型用的有洋犁、日本和犁、碎土器、水田耕耘器、土壤消毒器、施肥播种器、中耕器、水田用中耕除草器、切割器、割草器、挖掘机和拖车等；中耕型的在其轮轴上安装着簸箕形滚筒、花形滚筒、鉈刀滚筒、碎土滚筒等，这些附属机具也兼起行走装置的作用。现将各种主要机具的特点简叙于下：

1. 筑畦器

驱动型耕耘机所用的筑畦器（图17）安装在回转鋤的后面，进行耕耘作业时也进行筑畦作业。

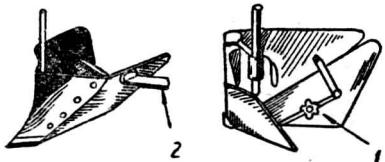


图 17 筑畦器

1—开度调节手把；2—补助板

2. 犁土板

耢土板是如图18所示的平板，它安装在回转鋤的两侧（由外向内安装）。回转鋤旋转时，向后飞溅的土块，被此板挡住，使其向内侧靠拢，这样便在中央形成小畦。

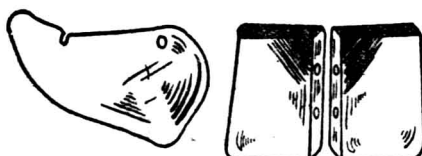


图 18 犁土板

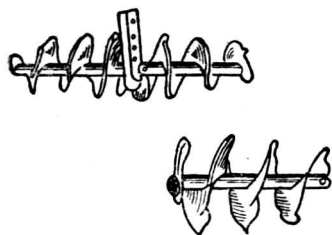


图 19 螺旋形回转鋤

3. 螺旋回转鋤

普通的回转鋤没有将土左右移动的作用，用培

土板耢土时较差，畦的中央常较低，动力消耗也大，因此采用螺旋形回转鋤（图19），能使土块向侧方移动，筑畦作业就较轻便。

4. 水田耕耘器

在驱动型拖拉机上，水田耕耘作业通常是用回转鋤进行的，当载荷过重时，往往会使回转鋤停止作用，所以可在回转鋤后面另行安装刀盘形碎土器。

5. 施肥播种器(驱动型用)

在驱动型耕耘机上，安装上施肥播种器是发展拖拉机通用性的一个措施。在耕耘机的手把部分安装有肥料箱或种子箱，箱底有排出装置，回转鋤后面有扩散板或播种板，它们之间用导管连接。进行这种作业时，用回转鋤打碎的土来复盖，用此复土很细，发芽良好。

6. 洋犁

洋犁是用在10马力左右的乘用型拖拉机上的。它不宜用在小型步行型的拖拉机上，这主要是因为：(1)洋犁的牵引阻力比日本和犁大；(2)洋犁的耕幅和耕深有一定的比例关系，所以小洋犁不便于深耕。洋犁耕幅与耕深之比一般为1:0.5~0.6，因此设耕幅为10吋，耕深即为5~6吋。所以耕幅小于10吋的洋犁，在实用上问题就较多。

7. 日本和犁

日本和犁是牵引型拖拉机上最重要的一种作业机具。在小型拖拉机上常用的是双向单层犁、双向双层犁和双铧犁。

(1) 双向单层犁 具有栅条状犁壁的较多，在用于湿田时，犁壁有用钢板制成呈特殊形状的。这种犁本来用于水田，在旱田上使用时，土易粘在犁铧和犁壁上，所以犁壁应制成适当弯曲的栅条状，犁床的形状也要做得使土不易附着。

(2) 双向双层犁 双向双层犁（图20）的翻土和碎土性能比单层犁好，在复种作物地区，这种犁最理想，但构造较复杂，重量也大，调节也较困难。

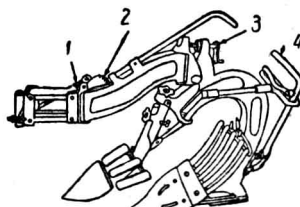


图 20 双向双层犁

1—上下(深耕)调节；2—左右(耕幅)调节；
3—耕起再调节；4—转向柄

(3) 双铧犁 在小型乘用型和兼用型拖拉机上,因机体重量較大,发动机功率也大,用单层犁或双层犁时,附着重量和功率皆有余裕,所以可同时牵引两台犁。单向的双铧犁已应用,双向的还在研究阶段。

8. 耕心土用作业机

小型拖拉机一般不能深耕,耕深限制在15~18厘米左右。为了达到深耕目的,在小型拖拉机上加上心土破碎犁、U形心土破碎器及振动式心土破碎器等。

(1) 心土破碎犁 这时单向单层犁与心土破碎器安装在同一个犁辕上,通过轉換杆可使耕翻作业与心土耕作作业交替进行,耕深可达20~25厘米。

(2) U形心土破碎器 这种作业机具装在回轉型耕耘机回轉鋤的后面,在进行耕耘作业的同时也进行心土耕作作业。

(3) 振动式心土破碎器 这种破碎器与大型拖拉机上的相似,但因小型拖拉机重量輕、牵引力小,所以使其振动,这样牵引阻力可比无振动时少20~40%。若心土破碎器每分钟前后振动1,000~2,000次,牵引速度为每秒0.3米时,在相当硬的水田上,也可能将心土耕到25厘米左右。

9. 碎土机

用洋犁或和犁耕作后,土块較大,表面不平,需要进行整地碎土作业。根据土壤的干湿程度及其性质,可用圆盘耙、刀盘式碎土器、回轉式碎土器和碎土用回轉鋤等。

(1) 圆盘耙 圆盘耙因重量較大,速度低时碎土效果較差等原因,所以在步行型拖拉机上应用较少(多用在10馬力以上的乘用型上)。

(2) 刀盘形碎土器 原用于畜力,后改用于小型拖拉机。这种碎土器多用在水田的耕耘作业,但旱田和干田的碎土整地作业也能用。

(3) 驅动式碎土器 驅动式碎土器是将碎土器驅动进行碎土,这与前几种用牵引方式进行碎土作业的不同。驅动式碎土器分为回轉式和滾筒式两种。

1) 回轉式碎土器 与回轉型耕耘机的构造相似,但是它是当做牵引型拖拉机的一个附属装置。鋤齿的形状要改成适用于碎土作业,而且工作幅度大。在这种碎土器后面常装上平土用的耙及平土板,同时进行碎土和平土作业,在这种碎土器上装上施肥播种器,可同时进行碎土、整地、施肥和播种等作业。

2) 滾筒式碎土器 是用在重量較輕的中耕型小型拖拉机上,这是因为这种拖拉机較輕,不能安装

特別的碎土装置,所以在輪軸上裝上各种滾筒进行碎土作业。这种碎土器的型式主要有花形滾筒式、籠状滾筒式、水田耕耘滾筒式等。装这种碎土器时,在挂鈎上常装上耙和平土板一同进行工作。

10. 施肥播种器

在牵引型拖拉机上用的施肥播种器是直接連接在挂鈎上的,依靠机子本身輪子的轉动来排种施肥;也有将肥料箱等裝在拖拉机机架上,由拖拉机車輪来驅动其攪拌等机构。

11. 中耕器

中耕器是用于旱田或水田的中耕、除草和培土等作业。3~4馬力小型拖拉机用的多为单行中耕器,因此拖拉机必須能在一个行間內行驶。可是拖拉机的寬度太窄时,稳定性不好,所以采用如图21所示的方法,拖拉机的左右兩輪分別跨在两个行間,而通过平行四边形机构将中耕器偏在一边(在一内)进行工作。

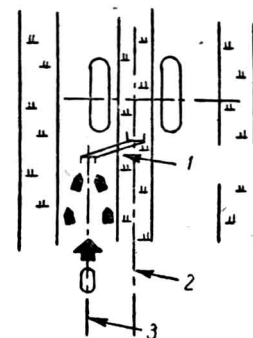


图21 中耕器安装在拖拉机側方工作时的情形

1—安装中耕器的平行四邊形机构; 2—拖拉机的中心線; 3—中耕器的中心線

12. 水田中耕除草器

水田中耕除草器必須裝在重量較輕(約100公斤左右)的小型拖拉机上。普通三行同时中耕时,为了避免对稻子有害,所以对行走車輪的形状和其通过位置要十分注意。

13. 加土器

加土器有驅動式和牽引式两种。驅動式应用具有特种鋤齿的回轉鋤,在其回轉时将土送到上面,落下时可得到細土。牽引式是用輸送带或翼輪,在帶上或翼輪上裝有許多戽斗(图22),当輸送带或翼輪轉动时,土由戽斗运到高处,戽斗在高处翻轉时土被抛下,落下的土一部分通过篩孔(細土)落在麥子上,另一部分(粗土)从篩子面上落到两侧。

14. 切割器

切割器有稻麦用和牧草用两种。稻麦用切割器

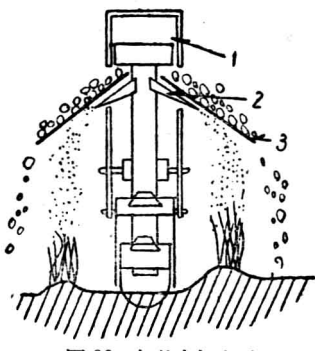


图 22 牵引式加土器

1—斗；2—羽翅形板；3—筛孔

裝在拖拉机的前部，切割部分由拖拉机发动机驅动，切割下来的稻子倒在侧面，再由人工来捆束；切割的工作幅約 40 厘米。牧草用切割器有回轉式和剪切

式两种，能同时进行割草和集草。

15. 植保机械

在小型拖拉机上，使用的植保机械有动力噴雾器和土壤消毒器等。动力噴雾器装在拖拉机前部，而其药箱則装在拖拉机的拖車上。土壤消毒器是用来向土壤內注射药剂，它是拖挂在拖拉机的后面的。

16. 挖掘器

挖掘器装在拖拉机的后面，是用于挖掘花生和薯类的。因为挖掘时需要大的牵引力，所以車輪上要加配重。

17. 尿撒布机

用来将家畜的尿撒布在耕地上。尿桶由拖拉机牽引，泵則装在拖拉机上，它們是用特別耐腐材料制成的。

V. 各种作业的性能

一、驅動耕耘性能

驅動型耕耘机在中等土质的干田上耕深为13~16厘米时，其所需的发动机标称馬力可用下式表示：

$$\text{标称馬力} = (20 \sim 25) \times \text{耕幅} \times \text{速度}$$

式中：耕幅的单位为米；速度的单位为米/秒。

在进行耕耘作业时，耕耘軸上的馬力与輪軸上馬力間的分配关系如图 23 所示。由图可見，耕深增加时，耕耘軸上馬力也增加，但輪軸上的馬力变化很小，或者反而减少。在耕耘軸轉速低、耕深大时，輪軸上的馬力还可能为负值，这表示車輪是由耕耘軸的作用而被推动前进的。但此情况，易在已硬干

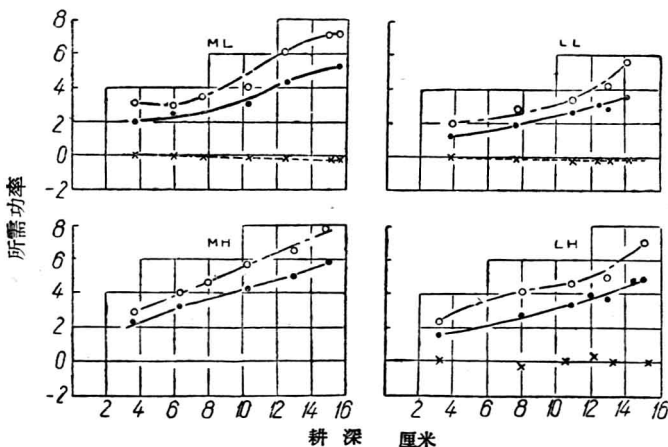


图 23 驅動耕耘作业时耕深与各軸上所需功率的关系

图中：实綫——耕耘軸上所需的功率；虚綫——輪軸上所需的功率；点划綫——主傳動軸上的功率

右上图(LL) 低速行走低速耕耘；右下图(LH) 低速行走高速耕耘；左上图(ML) 中速行走低速耕耘；左下图(MH) 中速行走高速耕耘

的水田上发生，在湿軟的水田上則不易产生，这是由于行走輪下陷、滚动阻力增加的缘故。

一般說來，耕耘时行走速度越大，则所需馬力也越大。在同样行駛速度下，回轉鋤或螺旋刀齒旋轉

速度越高，也就是碎土越細，則所需馬力也越大。耕耘机的行走速度多为每秒 0.3~0.5 米。

耕耘 10 公亩 (每公亩为 100 米²) 田地所需的时间如图 24 所示。由图中可看出 1958 年与 1956 年

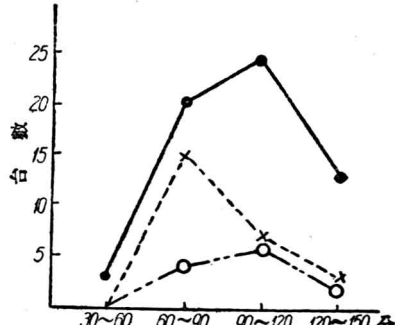


图 24 10 公亩耕耘作业所需的时间

—●— 1956 年耕深 12.9 厘米
-×- 1958 年耕深 12.2 厘米
—○— 1959 年耕深 15.6 厘米

相比所需时间大多数有了减少(1958年时需60~90分钟的台数最多,而1956年时需90~120分钟的最多),这表示耕耘机的性能有了改进。1959年因耕深增加较多,所以所需时间也有些增加。

二、驱动碎土性能

驱动型耕耘机能同时进行耕耘和碎土作业,一般一次就能达到碎土目的。10公亩田地碎土作业所需时间为40~90分钟,燃料消耗量为800~2,000克。

三、耕翻作业性能

用犁耕作时的作业性能与牵引性能有关。小型拖拉机的牵引马力可用 $P = \frac{Dv}{75}$ 来表示(式中D——切线牵引力,公斤;v——速度,公里/小时)。大约滑转损失在30%左右时,牵引马力值最大(图25)。

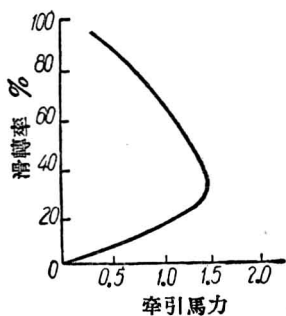


图25 牵引马力与滑转损失的关系曲线

各种车轮能实际发挥出的牵引力在各种情况下是不同的。例如同样是胎轮,轮胎的大小对牵引力就有影响。在硬地面上这个影响较小,在湿水田上,外径大的轮胎因下陷少,滚动阻力小,所以车轮上实际能发挥出的牵引力就较大。在砂砾土上采用较窄的轮圈能得到较大的牵引力,而在旱田及水田上,则较宽的轮圈能得到较大牵引力。

犁耕的速度一般是0.9~1.3米/秒,耕作10公亩所需的时间在功率较大的小型拖拉机上约70分钟,在功率较小的小型拖拉机上约150分钟,平均为90分钟。

四、碎土性能

用犁耕翻后,可用回转锄、碎土滚筒、圆盘耙等进行碎土作业。按碎土能力来说,回转锄最好,碎土滚筒次之,圆盘耙最差;按作业容易的程度,其次序是回转锄、圆盘耙和碎土滚筒。10公亩田地碎土作业所需的时间约40~100分钟。用回转锄作碎土作

业时,回转锄的工作幅应尽可能的宽。在回转锄后面再安装上齿耙,这样车轮的痕迹几乎没有,地表能很平整。

五、水田耕耘性能

在蓄水的水田上进行耕耘作业,可用回转锄、回转碎土器、水田耕耘滚筒、齿耙等。所需时间约每10公亩为60~90分钟。

小型拖拉机的水田耕耘作业速度从操作者的疲劳度出发以每秒0.6~0.8米为宜。回转锄由于重量较重,在湿田等处所作业较困难,这时若用中耕型耕耘机上用的滚筒来进行耕耘作业,由于机体下陷少,就较轻便。

六、田间管理作业性能

中耕除草作业是用中耕器、花形滚筒、回转锄等进行的。在比较硬的土质上,例如粘重的水田里,一般用回转锄碎土较好;在有麦秆等的地方用花形滚筒或回转锄较佳;用中耕器时如有秆株塞满在齿间,便不能很好工作。中耕作业的速度一般为0.7~1米/秒,当行距距离为60厘米时,单行中耕器中耕10公亩土地需30~40分钟。

加土作业时拖拉机的行走速度为0.5~0.7米/秒,在行距为60厘米时,10公亩土地所需作业时间为40~60分钟。

压麦苗作业用圆滚来进行。用铁板或铸铁制成的圆滚,表面较光滑,麦苗的损伤就较少;用木制的表面粗糙,损伤就较多。

当土潮湿时,麦叶也潮湿,这时进行作业损伤就较大。作业速度一般为0.7~1.0米/秒,每10公亩需20分钟。

七、切割作业性能

动力步行用切割器是小型拖拉机的一个附属作业机具,安装在拖拉机的前面。在普通的干田上仅将作物割倒,每10公亩需40~60分钟。

八、运输性能

拖拉机用做运输时,需考虑到要克服滚动阻力、上坡阻力和加速的惯性阻力。除去这些阻力后,小型拖拉机的可能牵引的重量约300~800公斤,运输时的速度为每小时10~15公里/小时。

翁家昌节译自《机械化农业》1961年第9、10、11、12期及1962年第1、2、3、5期,高良潤校

拖拉机重量与牵引力的关系

[澳大利亚] A. H. Willis

輪式拖拉机在挂鉤处所作的有效功是复合力系作用的結果。該力系存在于驅動輪和地面接触的一点，甚或是一块面上。为了要得到最佳的牵引条件，就必须知道这些力的某些情况。

我們注意到牵引的两个特征：一个是牵引效率，系指功率的轉換，其定义为挂鉤上馬力（功率）对加于后軸上馬力（功率）之比；另一个是牵引力，系指挂鉤有用的牵引力，这个力引起了牵引系数 t 的概念，其定义为拖拉机发出的牵引力对驅動輪上实际重量之比。

在輪胎工作于硬而光滑的水泥路面上的简单例子中，輪胎与地面間的摩擦力供給軸上扭矩所必需的反力，并使車辆运动。滚动阻力必須克服，因它引起一定的能量損失。在輪胎处于水泥路面上的简单例子中，能量的損失主要由于輪胎的弯撓，因为滑移可能是很低。

如所周知，如果重量加到这种輪子上，产生粘着（附着）的摩擦力就会增加，因而輪子能发出較高的牵引力。

当輪胎在能变形的土壤上工作时，其情况是更复杂。充气輪胎的胎面突齿突入土壤，牵引力是由以下各項产生的：(1) 突齿与土壤間的摩擦力；(2) 胎体与土壤間的摩擦力；(3) 在每一突齿后面土壤表层的剪切阻力。如果土壤是干而松，则剪切阻力的影响是小的。滚动阻力是由輪胎的弯撓和在輪胎前被連續挤压的土壤构成。

这样，牵引力将受到土壤类型、工作条件和土壤湿度三者的影响，也与拖拉机的充气压力、突齿型式及輪子大小有关。加载重于輪子上，因而增加牵引效

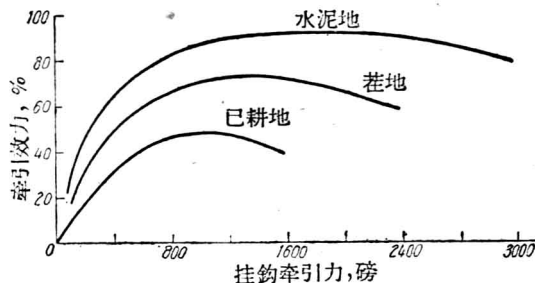


图1 10~28 輪胎在12磅/吋²下的牵引效率

率，隨而增加了滚动阻力。

三种不同路面对挂鉤牵引力和牵引效率的影响表示在图1。其最大效率是：在水泥路面上为 88%；在茬地上为 74%；在已耕地上为 48%。

一、輪子的滑移

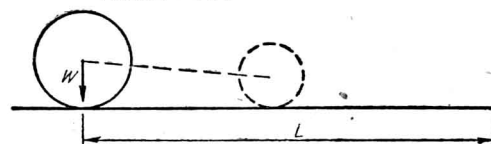
实际上輪子的滑移或輪胎的运动損失是經常存在着。滑移的定义如下(图2)：

令 L =在无載荷下一轉中所走过的距离；

L_1 =在有載荷下一轉中所走过的距离。

于是， 滑移 = $\frac{L - L_1}{L_1} \times 100$

无挂鉤牵引力



有挂鉤牵引力

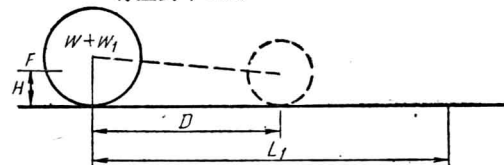


图2 負載下的滑移与重量轉移

田間測量滑移率的方法如下：在距离 100 呎的范围内，先算出拖拉机在空載下通过这一距离时的輪子轉数，而后在有載荷下，驅使拖拉机輪子作同样的轉数，并再测出所走过的距离。于是，滑移的百分

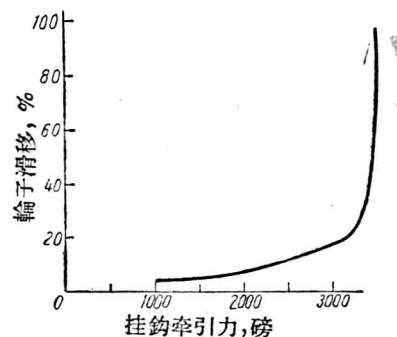


图3 增加挂鉤牵引力典型例子滑移的变化